

Следует отметить, что при комплексных исследованиях устричных особенно важно изучение особенностей их прижизненного прикрепления именно к макрофаунистическим объектам. Нередко многие фаунистические остатки из-за неблагоприятных условий захоронения бесследно разрушаются, и вследствие этого оказывается невозможным выяснение полного систематического состава древних биоценозов. Тщательное изучение отпечатков поверхности биосубстрата на эпифионтах, массивные толстостенные раковины которых оказываются более устойчивыми к разрушению, позволяет получить дополнительную информацию о систематическом составе населения морского бассейна, т. е. является одним из путей преодоления неполноты палеонтологической летописи [6, 7]. Проведённое нами сравнение систематического состава оксфордской макрофауны, выявленного непосредственной диагностикой собранного раковинного материала, и анализом ксеноморфных

площадок прикрепления грифей (обнаружившее, кстати, полное отсутствие сходства), показало возможность выявления в составе сообщества форм (двусторонки *Oxytoma*, *Pholadomya*, *Trigonia*), остатки которых в изученном местонахождении либо до сих пор не были найдены, либо не сохранились.

Основным благоприятным фактором, позволяющим провести анализ с необходимой степенью детальности, является массовость случаев эпифиоза для грифидных устриц. К сожалению, изученная коллекция, включающая небольшое количество экземпляров, не позволяет получить в полном смысле статистически достоверные выводы. Результаты исследования следует считать предварительными.

Помимо уточнения систематического состава древних биоценозов полученные в процессе изучения ксеноморфных площадок данные могут «оказаться крайне важными как в стратиграфическом, так и в палеобиогеографическом отношении» [4, с. 45].

ЛИТЕРАТУРА

- Геккер Р.Ф. Явления прирастания и прикрепления среди верхнедевонской фауны и флоры Главного девонского поля: Очерки по этологии и экологии населения палеозойских морей Русской платформы. М.: Изд-во АН СССР, 1935. С. 159–280 (Тр. Палеозоол. ин-та АН СССР; Т. 4).
- Геккер Р.Ф. Тафономические и экологические особенности фауны и флоры Главного девонского поля. М.: Наука, 1983. 144 с.
- Герасимов П.А. Руководящие ископаемые мезозоя центральных областей европейской части СССР. М.: ГОНТИ, 1955. Ч. 1. 380 с.
- Иванов А.В. Уточнение систематического состава морских палеобиот на основе анализа эпифионтии (на примере устричных) // Изв. вузов. Геология и разведка. 2003. № 6. С. 43–45.
- Иванов А.В., Перевушов Е.М. Некоторые результаты изучения прикреплённых представителей позднемеловой морской фауны // Учен. зап. геол. фак-та Саратовского гос. ун-та. Нов. сер. Вып. 1. 1997. С. 19–28.
- Комаров В.Н. О неполноте геологической летописи. Статья 1. Взгляды Чарльза Дарвина и современность // Изв. вузов. Геология и разведка. 2010. № 3. С. 3–9.
- Комаров В.Н. О неполноте геологической летописи. Статья 2. Об успехах в сокращении неполноты и не только // Изв. вузов. Геология и разведка. 2010. № 4. С. 3–9.
- Коробков И.А. Введение в изучение ископаемых моллюсков. Ленинград. Изд-во ЛГУ, 1950. 283 с.
- Лукашенко С.В., Найнова Т.Ф., Комаров В.Н. Местонахождение ископаемых остатков зоны *Virgatites virgatus* в Нижних Мневниках (г. Москва) — уходящая натура // Изв. вузов. Геология и разведка. 2009. № 1. С. 3–7.
- Лукашенко С.В., Найнова Т.Ф., Комаров В.Н. Ископаемые остатки зоны *Virgatites virgatus* из местонахождения Нижние Мневники (г. Москва) // Новые идеи в науках о Земле. Тезисы докладов IX международной конференции 2009. Т. 1. М.: РГГРУ. С. 78.
- Марковский Б.П. Методы биофацевального анализа. М.: Недра, 1966. 271 с.
- Рожкова Ю.П., Шекина А.Д., Комаров В.Н. Биоразнообразие ископаемых зоны *Virgatites virgatus* из местонахождения Нижние Мневники (г. Москва) // Палеонтология и эволюция биоразнообразия в истории Земли (в музейном контексте). Сборник научных работ. М.: ГЕОС, 2012. С. 108.
- Сельцер В.Б., Иванов А.В. Результаты анализа прикрепления келловейских *Gryphaea* Поволжья // Вопросы палеонтологии и стратиграфии. Нов. сер. Вып. 1. Саратов: Колледж, 1998. С. 35–40.
- Челцов Н.А. Значение микроструктуры раковины меловых устриц для их систематики. М.: Наука, 1969. 102 с.

УДК: 550.814

ПРИМЕНЕНИЕ АВТОМАТИЗИРОВАННОГО ЛИНЕАМЕНТНОГО АНАЛИЗА КОСМИЧЕСКИХ СНИМКОВ ПРИ ПОИСКАХ НЕФТЕГАЗОВЫХ МЕСТОРОЖДЕНИЙ, ПРОГНОЗЕ ЗЕМЛЕТРЯСЕНИЙ, СКЛОНОВЫХ ПРОЦЕССОВ И ПУТЕЙ МИГРАЦИИ ПОДЗЕМНОЙ ВОДЫ

А.В. ЗВЕРЕВ, А.Т. ЗВЕРЕВ

Московский государственный университет геодезии и картографии (МИИГАиК)
105064, Россия, г. Москва, Гороховский переулок 4; e-mail: n3kl@yandex.ru

Показана целесообразность использования автоматизированного линеаментного анализа для целей геологоразведки и инженерной геологии. Установлено, что залежи углеводородов формируются в местах повышенной плотности поперечных и в меньшей степени продольных по отношению к морфоструктурам локаль-

ных линеаментов. У кососекущих линеаментов отсутствует корреляция с залежами углеводородов. Миграция трещинных подземных вод и активное развитие оползней происходит на участках повышенной плотности локальных линеаментов, ориентированных поперёк речных долин и горных хребтов. Миграция и концентрация аллювиальных подземных вод возникает в зонах сгущения региональных (протяженных) линеаментов. Для землетрясений характерна закономерная цикличность в изменении систем линеаментов, выраженная в увеличении степени проявленности поперечных линеаментов, закономерном изменении величины отношения линеаментов разных простираний и в изменении характеристик поля линий вытянутости и роз-диаграмм на стадии подготовки землетрясения и после него. Цифровые модели рельефа (ЦМР) позволяют выявить морфоструктурные линеаменты, а снимки — ландшафтные линеаменты, которые наиболее полно отображают дисъюнктивную структуру земной коры.

Ключевые слова: линеамент; линеаментный анализ; месторождение; оползневые участки; подземные воды; космический снимок; прогноз.

USE OF THE AUTOMATED LINEAMENT ANALYSIS OF THE SPACE IMAGES FOR EXPLORATION OF OIL-GAS DEPOSITS AND FORECAST OF EARTHQUAKES, SLOPE PROCESSES AND WAYS OF UNDERGROUND WATER MIGRATION

A.V. ZVEREV, A.T. ZVEREVA

*Moscow State University of Geodesy and Cartography
105064, Russia, Moscow, Gorokhovsky pereulok, 4; e-mail: n3kl@yandex.ru*

The usefulness of automated lineament analysis for the exploration and engineering geology is shown on concrete examples. The hydrocarbon deposits are established to be formed in the areas of the high density of the transverse local lineaments (to a lesser extent — the longitudinal ones) with respect to the morphological structures. Obliquely cutting lineaments have no correlation with deposits of hydrocarbons. The migration of fractured groundwater and the active development of landslides occur in areas of high density of local lineaments oriented across the river valleys and mountain ranges. The migration and concentration of alluvial groundwater occurs in the areas of regional thickening (extended) lineaments. Earthquakes are characterized by the patterns of predictive cyclical changes in systems of lineaments expressed in the increase in the degree of manifestation of transverse lineaments, regular change of the ratio of different lineaments strike and in change of the characteristics of the field lines stretch out and rose diagrams in preparation of the earthquake and after it happens. Digital elevation models reveal morphological structural lineaments, and space images — landscape lineaments that represent the disjunctive structure of the Earth's crust best of all.

Ключевые слова: линеамент; линеаментный анализ; месторождение; оползневые участки; подземные воды; космический снимок; прогноз.

Авторами обобщены результаты многолетних исследований по применению автоматизированного линеаментного анализа космических снимков при решении различных геолого-разведочных и инженерно-геологических задач на примере месторождений и геологических процессов, контролируемых зонами разрывных нарушений и трещин.

При анализе использовался пакет прикладных программ автоматизированного статистического анализа линейных элементов (штрихов) LESSA (Lineament Extraaction and Stripe Statistical Analysis) [14].

Программа LESSA позволяет выявлять линейные элементы (штрихи) и описывает их свойства: розы-диаграммы, плотности штрихов, протяженность линеаментов, прослеженных по одинаково ориентированным штрихам. Штрихи выделяются по восьми азимутам простирания (от 0 до 180°) с осреднением 22,5°. Размер штриха составляет 10 пикселей на снимке. Роза-диаграмма штрихов строится в окне с диаметром 50 пикселей.

В литературе широко обсуждается проблема отождествления линеаментов с зонами разрывных нарушений и трещин. В первую очередь это касается платформенных областей, на которых нередко

выделяется густая сеть протяженных ортогональных и диагональных систем линеаментов, не редко пересекающих всю платформу и уходящих за ее пределы [1, 4, 6, 14, 15, 17–19, 22, 23, 25, 26].

Вместе с тем, как отмечают И.В. Егоров и С.И. Андреев [5], линеаментный анализ земной коры, несмотря на его внутренние проблемы и не взирая на разнообразные критические замечания в его адрес: «...универсален и может быть использован практически на любых стадиях геологического исследования. Особенно эффективно применение его в роли «опережающего», т. е. дающего возможность получить принципиальное представление о тектонической структуре территории на самых начальных стадиях ее изучения...».

Подчеркнем, что данный диспут о физической природе линеаментов касается выделения лишь протяженных (сквозных) линеаментов регионального и глобального уровней. Что же касается локальных линеаментов, то объективность их выделения подтверждается визуальным дешифрированием орографических и гидрографических линейных элементов, трассирующих зоны разрывных нарушений и трещин [14, 23].

Учитывая данное положение, основные исследования авторами выполнялись с использованием таких статистических показателей как плотность штрихов разных простираций и розы-диаграммы штрихов. Ниже приведены результаты автоматизированного линеаментного анализа космических снимков. При этом в качестве исходной информации использовался синтезированный снимок Landsat-7, полученный при синтезе зональных снимков, зелёной (0,5–0,6 мкм), красной (0,63–0,69 мкм) и ИК (1,55–1,75 мкм) спектральных зон, наиболее информативных для выявления линеаментов.

Поиск месторождений

Линеаментный анализ широко используется при прогнозе месторождений полезных ископаемых. Многие исследователи отмечают приуроченность месторождений к линеаментам и особенно к местам (узлам) их пересечения [1, 3, 15, 17, 20, 21, 22, 25, 26]. Однако, если внимательно присмотреться к приводимым при этом структурным построениям, то можно легко заметить, что месторождения приурочены не ко всем линеаментам и узлам их пересечения [1, 18, 19–21, 25 и др.]. Таким образом, в интерпретации связи линеаментов и узлов их пересечения с месторождениями имеется определённая неоднозначность, то есть необходима более строгая локализация месторождений по отношению к линеаментам.

Учитывая данные обстоятельства, авторы использовали в качестве индикаторов мест расположения месторождений непротяженные линеаменты и узлы их пересечения, а статистические показатели развития штрихов разных простираций. Это позволило локализовать места расположения месторождений.

Поиск месторождений осуществлялся двумя способами. В первом способе использовались три статистических показателя развития систем штрихов: плотность штрихов, степень вытянутости роз-диаграмм штрихов и степень их отличия от круга, которые получены при автоматизированном линеаментном анализе синтезированного снимка Landsat. На известных месторождениях определялись свойственные им интервалы (величины) данных статистических показателей и в автоматизированном режиме на исследуемой площади выявлялись участки с подобными статистическими характеристиками. Предполагалось, что данные участки являются местами наиболее перспективными для поиска месторождений. Данный способ прогноза использовался при оценке перспективности территорий Йемена и Таджикистана на месторождения руд цветных металлов [11; 16] и нефтегазовых месторождений [9]. Однако окончательное заключение о целесообразности применения подобной методики в поисково-разведочных работах можно

будет сделать лишь после накопления большого количества наблюдений с привлечением наземных геолого-геофизических и буровых работ.

Во втором способе поиска месторождений на основе автоматизированного анализа космических снимков использовалась плотность штрихов определённого азимута простирации, с которым установлена связь одного (или нескольких) известных месторождений. Индикатором возможного местоположения месторождения служит наличие повышенной плотности штрихов данного азимута простирации.

Второй способ разработан авторами на примере Журавского нефтегазового месторождения, расположенного на восточном склоне Ставропольского поднятия, в 30 км к югу от города Благодарный [9]. Контур этого месторождения показан на рис. 1, а. В качестве исходных материалов использовались зональные космические снимки Landsat-7 (ETM+), имеющие пространственное разрешение 30 м на пиксель, цифровая модель рельефа (ЦМР) с разрешением 90 м на пиксель.

В результате обработки синтезированного снимка и ЦМР получены схемы плотности штрихов как для суммы штрихов всех азимутов простирации, так и для каждого из азимутов простирания (осреднение 22,5): 0; 22,5; 45; 57,5; 90; 112,5; 135; 157,5°. Эти схемы плотности сравнивались с расположением залежей углеводородов Журавского месторождения (рис. 1, а).

На схеме суммарной плотности штрихов всех восьми азимутов простирации, полученных при автоматизированной обработке синтезированного космического изображения, распределение величин плотности не имеет видимой связи с месторождением. Участки повышенной и пониженной плотности достаточно равномерно распределены по всей исследованной площади, в пределах листа топографической карты L-38-99 (рис. 1, б).

На схемах плотности штрихов разных азимутов простирации, полученных при автоматизированном линеаментном анализе ЦМР, также не наблюдается связи распределения плотности с Журавским нефтегазовым месторождением [9].

На схемах плотности штрихов разных азимутов простирации, полученных при автоматизированном линеаментном анализе синтезированного космического снимка Landsat-7, связь повышенной плотности штрихов с месторождением наблюдается у двух азимутов простирации штрихов — 45 и 135° (рис. 1, в, г). Аномалии плотности штрихов других азимутов простирации не имеют видимой связи с месторождением [9].

Азимут простирации штрихов 45° — поперечный, а 135° — продольный по отношению к основным формам выработанного рельефа района. Наиболее богатые нефтяные залежи приурочены к участкам с повышенной плотностью поперечных

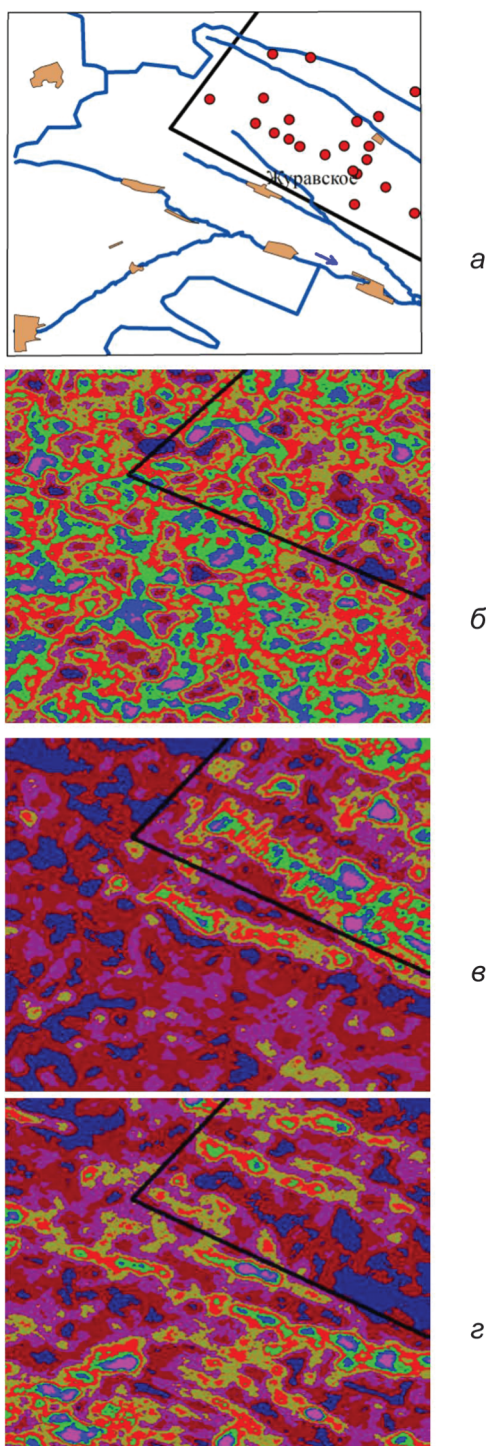


Рис. 1. Результаты автоматизированного линеаментного анализа космического снимка района Журавского месторождения: а – схема территории работ с гидографией, основными населенными пунктами и нефтяными вышками, б – схема суммарной плотности штрихов, в – схема плотности штрихов по азимуту простириания 45° , г – схема плотности штрихов по азимуту простириания 135°

штрихов, а более бедные — к повышенной плотности продольных штрихов.

Повышенная плотность штрихов с азимутами простириания 45 и 135° к югу от Журавского месторождения указывает на возможное нахождение

здесь новых, ещё не обнаруженных залежей углеводородов (рис. 1, в, г).

Прогноз землетрясений

Прогноз землетрясений с использованием автоматизированного линеаментного анализа космических снимков осуществляется также двумя способами. В первом способе в качестве предвестников используется закономерное изменение в период подготовки землетрясения общей плотности штрихов всех азимутов простириания, плотностей поперечных и продольных штрихов и разность плотностей штрихов, которые наблюдались в период подготовки землетрясений и после него [7].

Во втором способе в качестве основных предвестников используются закономерные изменения роз-диаграмм и величины отношения суммарных длин штрихов разных азимутов простириания [4]. Исследование землетрясений, произошедших в мире за последние 15 лет [4], показали, что за 1–3 месяца до землетрясения наблюдается закономерное изменение роз-диаграмм, в основном за счёт увеличения числа поперечных линеаментов, и величины отношений суммарной длины штрихов разных азимутов простириания (рис. 2). Эти изменения достигают максимума за 10–20 дней до главного толчка и сохраняются в течение 10–20 дней после него. В течение 1–3 месяцев после толчка всё возвращается к начальному состоянию. В отдельных регионах эти сроки могут изменяться, но общая тенденция динамики изменения сохраняется [4].

Прогноз склоновых процессов

Автоматизированный линеаментный анализ позволяет выявить места развития коллювиальных отложений и оползневые участки. Первые характеризуются повышенной суммарной плотностью штрихов всех азимутов простириания, с которой связана повышенная раздробленность массивов горных пород, обусловливающая образование коллювиальных отложений. Вторые характеризуются повышенной плотностью штрихов, определённых азимутов простириания.

В качестве примера приведем результаты автоматизированного линеаментного анализа для изучения широко развитых оползневых процессов в бассейне р. Мзымта районе Красной Поляны (рис. 3, а).

Долина р. Мзымта на большей части своей протяженности (от Красной Поляны до пос. Эстосадок) ориентирована поперек морфоструктур общекавказского простириания, а её левые и правые притоки ориентированы в соответствии с простирианием основных морфоструктур Кавказа. Лишь выше пос. Эстосадок долина р. Мзымта резко поворачивает к юго-востоку согласно общекавказскому простирианию морфоструктур, а её притоки становятся поперечными к морфоструктурам (см. рис. 3, а).

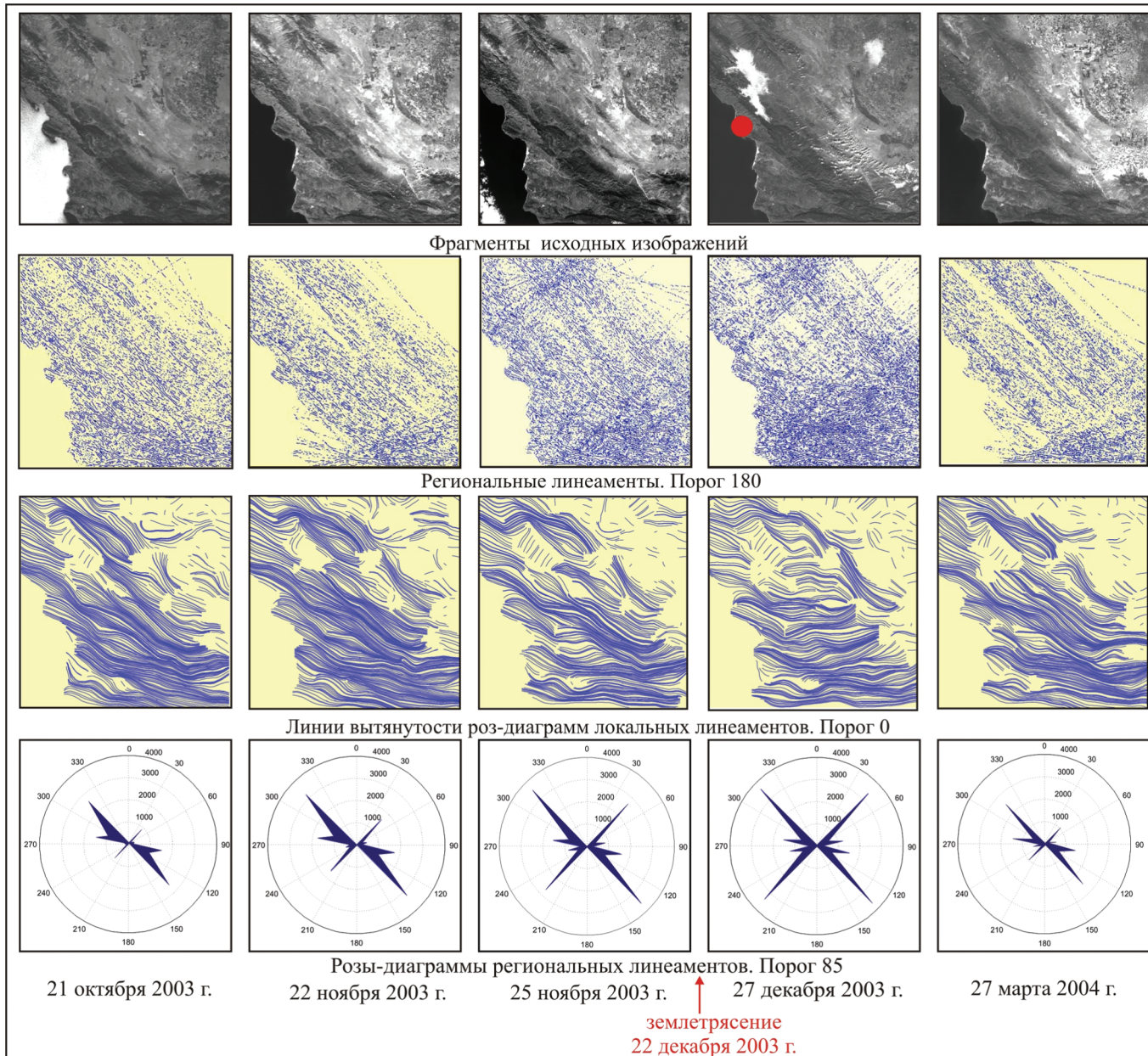


Рис. 2. Динамика систем локальных и региональных линеаментов, выявленных по космическим изображениям в период землетрясения 22 декабря 2003 г. вблизи г. Сан-Симеон ($M=6.5$)

Линии вытянутости, полученные при анализе ЦМР, соответствуют простиранию морфоструктур, а по снимкам — поперечным к ним зонам разрывных нарушений и трещин долины р. Мзымта. Подобное несоответствие направлений линий вытянутости вполне понятно, поскольку цифровая модель рельефа (ЦМР) отражает морфоструктурные (рельефные) линеаменты, а снимки — ландшафтные линеаменты, которые связаны не только с линеаментами, выраженным в рельефе, но и с зонами трещин и разрывных нарушений, не выраженных в рельефе, но проявленных в комплексе ландшафтных признаков [8].

Анализ схемы плотности штрихов разных азимутов простирания, полученных при линеаментном

анализе синтезированного космического снимка (3, б) и ЦМР, показывает, что корреляция между аномалиями плотности штрихов и оползневыми участками в большинстве случаев отсутствует. Она наблюдается лишь у аномалий плотности штрихов с азимутами простирания 45° и 135° (рис. 3, в, г).

Первый азимут простирания штрихов (45°) является поперечным к притокам р. Мзымта, а второй (135°) — поперечным к самой долине р. Мзымта. Это указывает на то, что основным фактором развития оползневых процессов служит не общая раздробленность массивов горных пород, а повышенная плотность поперечных к долинам рек зон разрывных нарушений и трещин, трассируемых штрихами, которые выявляются при автоматизи-

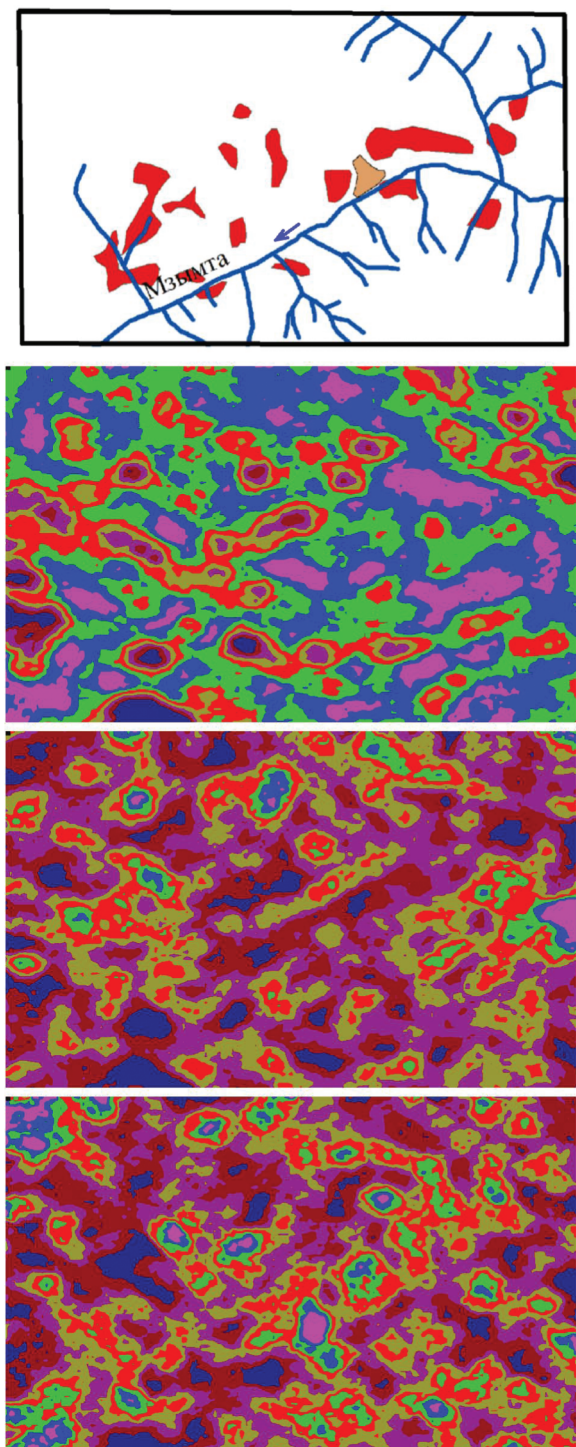


Рис. 3. Результаты автоматизированного линеаментного анализа космического снимка района Красной Поляны (Сочи): *а* — схема района с нанесенными на нее оползневыми участками, *б* — суммарная плотность штрихов, *в* — плотность штрихов с азимутом простириания 45° , *г* — плотность штрихов с азимутом простириания 135°

рованном линеаментном анализе космических снимков.

Данная закономерность вполне объяснима, так как поперечные зоны разрывных нарушений и трещин являются путями миграции трещинно-грунтовых и трещинно-жильных подземных вод к об-

ластям разгрузки в долинах рек. Подземная вода смачивает горные породы на склонах, что приводит к их смещению (оползанию) вниз по склону.

Широкое развитие оползневых процессов в районе Красной Поляны обусловлено тем, что в его геологическом строении преобладают трещиноватые терригенные (в основном глинистые и мелкообломочные породы) и терригенно-карбонатные породы, которые легко увлажняются и соскальзывают вниз по склону. Без такого увлажнения образуются чаше всего не оползни, а коллювиальные отложения.

Выявленная закономерная связь оползневых процессов с повышенной плотностью штрихов поперечных по отношению к долинам рек, позволит выявить новые оползневые участки на левобережье р. Мзымта от устья р. Ржанки до устья р. Пелух, в бассейнах рек Гелион 1, 2, 3, в районе комплекса олимпийских горнолыжных трамплинов, а также в отдельных районах правобережья р. Мзымта, в которых наблюдаются повышения плотности штрихов поперечных к долинам р. Мзымта или ее притоков. Данный прогноз был подтвержден во время полевых работ в июле—августе 2014 г.

Прогноз путей миграции подземной воды.

При прогнозе путей миграции подземной воды на основе данных автоматизированного линеаментного анализа используются различные статистические показатели в зависимости от условий залегания подземной воды. В случае трещинно-грунтовых и трещинно-жильных вод, как это было показано выше при анализе оползневых процессов, в качестве индикатора наличия трещинной воды выступает повышенная плотность штрихов, ориентированных поперечно к речным долинам, являющихся областями разгрузки трещинных вод [7].

Прогноз месторождений подземных вод, которые имеют особенно большое значение для водоснабжения в засушливых районах с пересыхающими реками, осуществляется на основе анализа плотности протяженных (так называемых сквозных) линеаментов, пересекающих весь снимок. Пути миграции подземной воды совпадают с зонами сгущения сквозных линеаментов в долинах пересыхающих рек и речных палеодолинах.

При прогнозе глубины залегания подземной воды использованы корреляционные связи глубины залегания воды с плотностью штрихов, степенью вытянутости роз-диаграмм и степенью отличия роз-диаграмм штрихов от круга. Установлено что наиболее устойчивой связью с плотностью штрихов обладают глубины залегания грунтовых вод и глубокозалегающих межпластовых подземных вод с участками повышенной плотности штрихов. При этом между глубиной залегания грунтовых вод и плотностью штрихов существует

обратная зависимость, а между глубиной межпластовой воды и плотностью штрихов — прямая [13].

Заключение

Выполненное обобщение накопленного авторами опыта по использованию автоматизированного линеаментного анализа космических снимков показало его высокую эффективность для решения целого ряда поисковых и прогнозных задач геологоразведки и инженерной геологии. Установлено что для прогноза нефтегазовых месторождений и оползневой опасности главным критерием является аномальное повышение плотности поперечных штрихов, а для прогноза землетрясений — поперечных линеаментов и величины отношения суммарных длин линеаментов разных простиций.

На целом ряде примеров показано, что при автоматизированном линеаментном анализе ЦМР и

космических снимков получается различная информация: ЦМР позволяет выявить морфоструктурные линеаменты, а снимки — ландшафтные линеаменты. Ландшафтные линеаменты отображают не только главные (морфоструктурные) неоднородности строения земной коры, но и осложняющие их секущие структуры, выраженные в ландшафтах.

При решении целого ряда поисковых геологических задач именно степень выраженности на космических снимках ландшафтных линеаментов является одним из важнейших индикаторов наличия месторождений, сейсмической и оползневой опасности, путей миграции подземной воды, поскольку линеаменты являются комплексными ландшафтными индикаторами наличия зон разрывных нарушений и трещин.

Исследование выполнено в рамках базовой части государственного задания Минобрнауки РФ (задание № 2014/19, код проекта 1753).

ЛИТЕРАТУРА

1. Автоматизированный анализ природных линеаментных систем. Сборник научных трудов. Л.: Мингео СССР. Объединение «Аэрогеология». 1988. 131 с.
2. Аксенов А.А., Можаева В.Г. Задачи аэрокосмических исследований по структурному обеспечению нефтегазопроявленных работ // Исследования Земли из космоса. 1990. № 4. С. 26–32.
3. Амурский Г.И., Бондарева М.С. Использование космических снимков Земли при изучении строения зон дегазации нефтегазоносных бассейнов // Исследования Земли из космоса. 1981. № 3. С. 27–39.
4. Бондуров В.Г., Зверев А.Т., Гапонова Е.В., Зима А.Л. Исследование из космоса предвестников цикличности при подготовке землетрясений, проявляющейся в динамике линеаментных систем // Исследование Земли из Космоса 2012. № 1. С. 3–20.
5. Егоров И.В., Андреев С.И. Опыт применения линеаментного анализа при изучении особенностей размещения скоплений глубоководных сульфидных руд на участке «12°58' с.ш.», Северо-Атлантический хребет // Геоморфология. 2005. № 2. С. 18.
6. Еременко В.Я., Каттерфельд Г.Н. Использование космических снимков при изучении региональных и глобальных систем линеаментов // Изв. вузов. Геология и разведка. 1987. № 10. С. 23–29.
7. Зверев А.В. Разработка методики поиска подземных вод по материалам многозональной космической съемки // Сборник статей по итогам научно-технических конференций // Приложение к журналу Изв. вузов. Геодезия и аэрофотосъемка. 2011. № 6. Вып. 4. 105 с.
8. Зверев А.В. Сравнение результатов линеаментного анализа космического снимка и цифровой модели рельефа. Изв. вузов. Геодезия и аэрофотосъемка, 2014, № 2, С. 96–99.
9. Зверев А.В., Зверев А.Т. Методика поиска нефтегазовых месторождений с использованием линеаментного анализа космических снимков // Приложение к журналу «Известия вузов. Геодезия и аэрофотосъемка». Сб. статей по итогам международной научно-технической конференции, посвященной 235-летию основания МИИГАиК. Выпуск 7 (в двух частях). Часть I. М.: Изд-во МИИГАиК, 2014. С.160–163.
10. Зверев А.Т., Кастан Амин Али. Результаты использования космических снимков для оценки нефтегазоносности территорий Йемена // Изв. вузов. Геодезия и аэрофотосъемка. 1996. № 1. С. 62–69.
11. Зверев А.Т., Кастан Амин Али. Результаты использования линеаментного анализа космических снимков для поиска месторождений медных руд // Исследование Земли из космоса. 1996. № 1. С. 99–106.
12. Зверев А.Т., Малинников В.А., Ареффлано-Баэса. Изучение динамики линеаментов, обусловленной землетрясениями в Южной Америке, с применением линеаментного анализа данных спутника Aster (Тerra) // Изв. вузов. Геодезия и аэрофотосъемка. 2005. № 5. С. 56–65.
13. Зверев А.Т., Малинников В.А., Карне Х. Исследование взаимосвязи глубины залегания подземной воды и статистических параметров линеаментной тектоники, полученных при автоматизированном анализе космических изображений юго-восточной части Республики Нигер // Изв. вузов. Геодезия и аэрофотосъемка. 1997. № 6. С. 91–100.
14. Златопольский А.А. Методика измерения ориентационных характеристик данных дистанционного зондирования (технология LESSA) // Современные проблемы дистанционного зондирования из космоса. Вып. 5. Т. 1. М.: ООО «Азбука 2000». 2008. С. 102–112.
15. Изучение тектоники нефтегазоносных областей с использованием космических снимков / Амурский Г.И., Бондарева М.С., Кац Я.Г. и др. М.: Недра, 1985. 143 с.
16. Калинкин А.А., Зверев А.Т. Методика поиска рудных месторождений на основе линеаментного анализа космических снимков // Изв. вузов. Геодезия и аэрофотосъемка. 1997. № 1. С. 83–93.
17. Кац Я.Г., Полетаев А.И., Румянцева Э.Ф. Основы линеаментной тектоники. М.: Недра. 1986. 140 с.
18. Короновский Н.В., Брянцева Г.В., Гончаров М.А., Наймарк А.А., Копаев А.В. Линеаменты, планетарная трещиноватость и регматическая сеть: суть явлений и терминология // Геотектоника. 2014. № 2. С. 75–88.
19. Макаров В.И. Предварительная карта линеаментов территории СССР // Изв. вузов. Геология и разведка. 1978. № 10. С. 30–34.
20. Миловский Г.А., Денисова Е.А. и др. Космогеологическое прогнозирование газовых месторождений в междуречье Мессоях — Большая Хета (Таймырский автономный округ) // Исследования Земли из космоса. 2005. № 6. С. 69–74.
21. Миловский Г.А., Лебедев В.В., Ненадов Я.В. Региональное прогнозирование хромитового оруднения Корелии и Чукотки по космогеологическим данным // Исследование Земли из космоса. 2012. № 2. С. 24–27.
22. Моралев В.М., Пржияловский Е.С., Шеремет О.Г. Цифровая обработка линеаментной сети выявленной по космическим снимкам, и прогноз золотой минерализации в системе зеленокаменных поясов // Исследования Земли из космоса. 1995. № 4. С. 45–53.
23. Нечаев Ю.В. Линеаменты и тектоническая раздробленность: Дистанционное изучение внутреннего строения литосфера // Под редакцией академика А.О. Глико. М.: ИФЗ РАН. 2010. 215 с.
24. Полетаев А.И. Линеаментный метод // Экологический вестник. 2001. № 3. С. 12–28.
25. Трифонов В.Г. 30 лет геологических исследований с помощью космических средств: тенденции, достижения, перспективы // Исследования Земли из космоса. 2010. № 1. С. 27–39.
26. Трофимов Д.М. Аэрокосмические исследования на поисковом этапе геологоразведочных работ на нефть и газ. М.: ИПК «Лаватера». 2010. 308 с.